

LEGENDA SINÓPTICA

- ARGISSOLOS
 - PVd1 a PVd5 - ARGISSOLOS VERMELHOS Distróficos
 - PVe1 a PVe3 - ARGISSOLOS VERMELHOS Eutróficos
 - PVAd1 a PVAd3 - ARGISSOLOS VERMELHO-AMARELOS Distróficos
 - PVAd1 e PVAd2 - ARGISSOLOS VERMELHO-AMARELOS Eutróficos
- CAMBISSOLOS
 - CHa1 a CHa8 - CAMBISSOLOS HÚMICOS Aluminicos
 - CHd - CAMBISSOLOS HÚMICOS Distróficos
 - CYbd - CAMBISSOLOS FLÚVICOS Tb Distróficos
 - CXa1 e CXa2 - CAMBISSOLOS HÁPLICOS Aluminicos
 - CXbd1 a CXbd3 - CAMBISSOLOS HÁPLICOS Tb Distróficos
 - CXve - CAMBISSOLOS HÁPLICOS Ta Eutróficos
- CHERNOSSOLOS
 - MDa - CHERNOSSOLOS RENDZICOS Órticos
- ESPODOSSOLOS
 - Ekq - ESPODOSSOLOS HUMILÚVICOS Hidromórficos
- GLEISSOLOS
 - GZ - GLEISSOLOS SÁLICOS
 - GM1 a GM3 - GLEISSOLOS MELÂNICOS
 - GX1 e GX2 - GLEISSOLOS HÁPLICOS
- LATOSSOLOS
 - LBw1 e LBw2 - LATOSSOLOS BRUNOS Ácricos
 - LBd1 a LBd10 - LATOSSOLOS BRUNOS Distróficos
 - LVd1 a LVd14 - LATOSSOLOS VERMELHOS Distróficos
 - LVd1 a LVd3 - LATOSSOLOS VERMELHOS Eutróficos
 - LVd1 a LVd3 - LATOSSOLOS VERMELHOS Distróficos
 - LVe1 e LVe2 - LATOSSOLOS VERMELHOS Eutróficos
 - LVAd1 e LVAd2 - LATOSSOLOS VERMELHO-AMARELOS Distróficos
- NEOSSOLOS
 - RLh1 a RLh10 - NEOSSOLOS LITÓLICOS Húmicos
 - RLdh - NEOSSOLOS LITÓLICOS Distro-úmbricos
 - RLd - NEOSSOLOS LITÓLICOS Distróficos
 - RVq - NEOSSOLOS FLÚVICOS Psâmílicos
 - RVbd - NEOSSOLOS FLÚVICOS Tb Distróficos
 - RRh1 a RRh3 - NEOSSOLOS REGOLÍTICOS Húmicos
 - RRh1 a RRh3 - NEOSSOLOS REGOLÍTICOS Húmicos
 - RRdh1 a RRdh6 - NEOSSOLOS REGOLÍTICOS Distro-úmbricos
 - RRd1 a RRd9 - NEOSSOLOS REGOLÍTICOS Distróficos
 - RRe1 a RRe12 - NEOSSOLOS REGOLÍTICOS Eutróficos
- NEOSSOLOS QUARTZARÊNICOS Órticos
 - RQa - NEOSSOLOS QUARTZARÊNICOS Órticos
- NITOSSOLOS
 - NBa1 e NBa2 - NITOSSOLOS BRUNOS Aluminicos
 - NBd1 a NBd4 - NITOSSOLOS BRUNOS Distróficos
 - NVd1 a NVd7 - NITOSSOLOS VERMELHOS Distróficos
 - NVd1 a NVd10 - NITOSSOLOS VERMELHOS Eutróficos
- ORGANOSSOLOS
 - OX1 a OX3 - ORGANOSSOLOS HÁPLICOS
- AFLORENTOS DE ROCHA
 - AR1 e AR2 - AFLORENTOS ROCHEOSOS

CONVENÇÕES

- Localidade (Capital e outras cidades)
- Rodovia Municipal
- Rodovia Estadual
- Rodovia Federal
- Limite Estadual
- Limite Internacional
- Corpo d'água
- Drenagem
- Ilha
- Limite entre unidades de mapeamentos

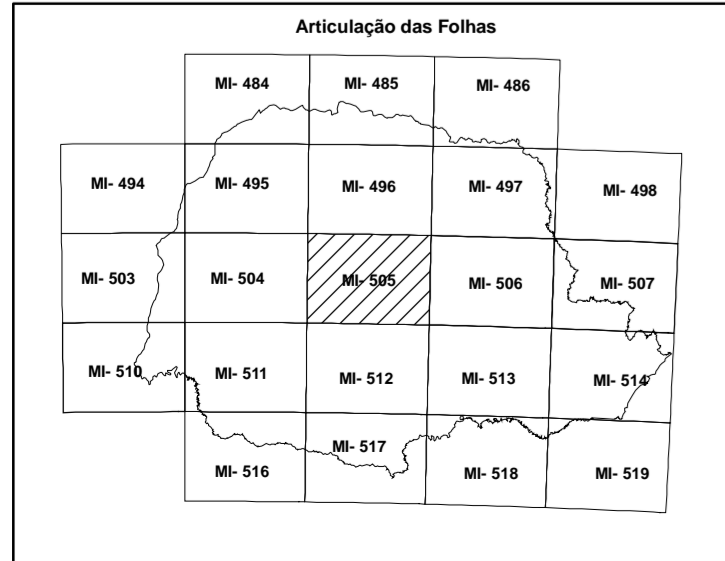
Autoria:
Solos: Atualização do Mapa de Solos - SIBCS, 2006
Humberto Gonçalves dos Santos *
Sílvia Barge Bhering*
Itamar Antonio Bogheda**
Gustavo Ribas Curcio**
Cosmo Valner Marzotto**
César da Silva Chagas**

Geoprocessamento:
Mário Luiz Diamante Aguiar*
José Silva de Souza*
Wáldir de Carvalho Junior*
Claudio Edson Chaffin

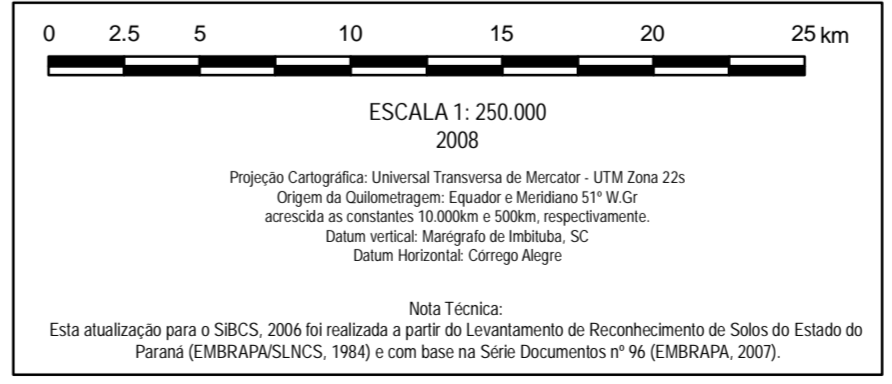
* EMBRAPA SOLOS
** EMBRAPA FLORESTA

LABORATÓRIO DE GEOINFORMAÇÃO

AGRADECIMENTOS ESPECIAIS:
A Embrapa Solos e a Embrapa Florestas apresentam publicamente todo o seu reconhecimento e agradecimento aos colegas profissionais que contribuíram ao longo de mais de três décadas na geração do conhecimento, da distribuição e da ocorrência dos solos no estado do Paraná: Wilson Cardoso, Antonio Renato de Carvalho, Dêlso Pires Hochstetler, Jorge Otávio Ratti Lacerda, Marjory de Jesus Raizen, Pedro Jorge Fardo e Reinaldo Oiticima Payer.



Nota Técnica da Base de Apoio Temática:
A base de apoio para o delineamento do mapa de solos (drenagem, rodovias, limites políticos e áreas urbanas), foi gerada a partir da digitalização e mosaico das folhas planialtimétricas do IBGE na escala 1:250.000 (artificação a esquerda). A atualização dos limites das represas foi realizada a partir do plano de informação fornecido pelo Instituto de Terras, Cartografia e Geodésias - ITCG - Estado do Paraná.



Declinação Magnética do Centro da Folha: 12° 42' Cresce 10' Anualmente.
Convergência Meridiana do Centro da Folha: 0° 17'